

理してエネルギー勾配 I を求め、この I 値をマンニング式に入れて粗度係数 n(満流時)を逆算し、n 値をレイノルズ数 Re との関係で図-3 に示した。図-3 によると、Re が大きくなると n 値は幾分低下し、 $14 \text{ Re} \sim 26 (\times 10^4)$ ではヒューム管の n 値は約 0.010、塩ビ管の n 値は約 0.009 であった。

実測した注射針による流下方向に対する水路底圧値をグラフにプロットして上流側の影響と下流側低下背水の影響範囲を調べ、これらの影響をほぼ無視できる区間を検討した。その結果、ヒューム管、塩ビ管共に約 10m と選定・固定し、この区間の水路底圧を以下用いた。

さて、継手損失水頭を取除き(継手部のない管と仮定)、管長を計算上短くして、この時のマンニングの粗度係数を n' とし、Re との関係で示したのが図-4 である。図-4 のように n' 値は図-3 の n 値に比べて幾分小さく、また n' 値には管種による顕著な差異は見られない。

解析対象区間での各管体の継手部前後での水路底圧値を取り上げ、これを継手損失水頭として、次式で表した。

$$\Sigma \Delta E / n = K \frac{V^2}{2g} \dots\dots\dots (1)$$

- ここで、 ΔE : 対象区間での継手損失水頭の和
 n : 継手数
 K : 継手損失係数
 V : 平均流速
 g : 重力の加速度

(1) 式を用いて継手損失係数 K を逆算し、図-5、6 に示した。図-5 のように、K 値は Re が小さくなるに伴い幾分大きくなるが、 $K \approx 0.1$ であった。図-6 は、 S_1 を開水路流れでの潤辺、S を満流時の潤辺として、 S_1/S と K の関係を示したものである。ここで、開水路の流れではポイントゲージによる水深を用いて逐次計算¹⁾で S_1 と(1)式の V を求めた。

K 値は、図-6 のように S_1/S が大きくなると継手損失係数は小さくなる顕著な傾向を示している。

$S_1/S = 1.0$ の時(満流時)には $K \approx 0.1$ となる。 S_1/S と K の関係でヒューム管と塩ビ管の K 値を比べると、塩ビ管の方が幾分小さい K 値であった。

以上のように、継手部損失水頭を(1)式で表すと、継手部損失係数は、満流時には $K \approx 0.1$ であり、開水路の流れでは K は満流時との潤辺比によって変化することが判明した。

実験に際し、終始御協力頂いた宋徳全氏(岩手連大生)に感謝の意を表す。

引用文献 1) 椿東一郎・荒木正夫: 水理学演習下巻, pp.16 森北(1980)

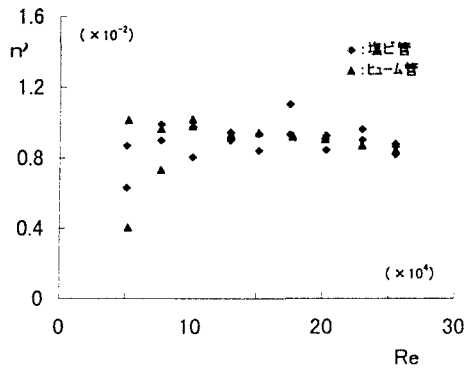


図-4 Re と n' の関係(満流時)

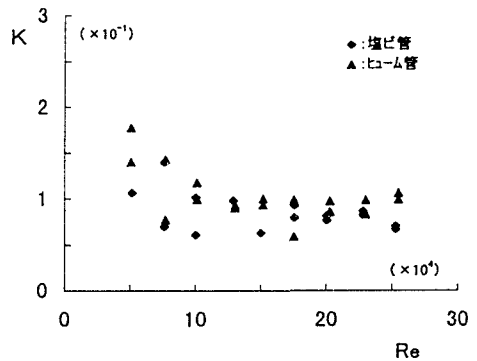


図-5 満流時の Re と K の関係(満流時)

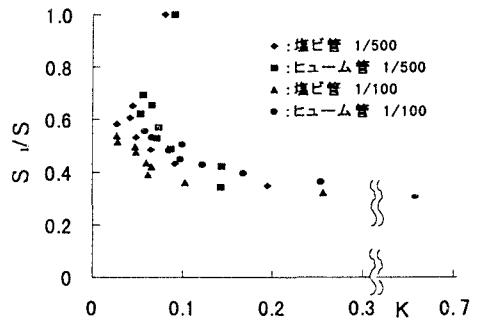


図-6 S_1/S と K の関係